

[ 文章编号] 1004- 0609(2000)05- 0693- 04

# CuO-Al-Cu 粉末压坯中 CuO 和 Al 的反应机理<sup>①</sup>

王武孝, 袁森

(西安理工大学 材料科学与工程学院, 西安 710048)

**[摘要]** 对 CuO-Al 粉末预制块在不同温度下反应, 测试其温度随时间的变化曲线, 利用 X 射线衍射仪对其反应后的试样进行物相分析, 得出产生热爆的反应温度及不同温度下的反应产物。结果表明, CuO-Al 体系化学反应存在 3 个不同温度区域, 即稳定区、反应不完全区和反应完全区。反应完全区易出现热爆现象。

**[关键词]** CuO-Al 粉末预制块; 热爆; 热分析曲线

**[中图分类号]** TQ110.1

**[文献标识码]** A

内氧化法制备  $\text{Al}_2\text{O}_3/\text{Cu}$  复合材料是一种很有发展前途的方法, 其基本原理是把 CuO 粉和 Al 粉按一定比例加入到铜液中, 反应生成  $\text{Al}_2\text{O}_3$  增强颗粒并弥散分布在铜基体中, 使材料强化。用这种方法获得的复合材料, 其增强相与基体之间的界面结合良好, 增强相颗粒尺寸一般较小( $0.5\sim 2\mu\text{m}$ ), 复合材料性能较为理想。然而, 在一定条件下向铜液中添加 CuO 和 Al 进行液态内氧化反应时, 由于 CuO 和 Al 反应相当剧烈, 瞬间放出大量热, 且又来不及通过周围介质向外传出, 使体系温度骤然升高, 周围气体急剧膨胀而发生爆炸, 这种现象称为“热爆”<sup>[1, 2]</sup>。热爆现象的出现可引起液体向外飞溅, 导致内氧化工艺失败, 甚至对加热和控制设备造成损坏, 成为内氧化工艺制备  $\text{Al}_2\text{O}_3/\text{Cu}$  复合材料的一个限制环节。为了使内氧化反应能够平稳、有效地进行, 避免或减轻热爆现象发生, 本文对热爆反应发生温度及反应产物作了试验研究, 为内氧化法制备  $\text{Al}_2\text{O}_3/\text{Cu}$  复合材料工艺提供了理论依据。

## 1 实验材料和方法

实验设计的目的是为了获得 CuO 和 Al 体系发生化学反应的温度, 方法是在不同的保温温度下测试 CuO 和 Al 混合物试样的温度随时间变化的热分析曲线, 将试样温度与保温温度比较, 若有放出热量的化学反应发生, 则试样温度会明显高于保温温度(炉温)。

实验所用原材料为: 分析纯 CuO 粉, 粒径 71

$\mu\text{m}$ , 含量  $\geq 99.0\%$ ; Al 粉, 粒径  $71\mu\text{m}$ , 含量  $\geq 99.5\%$ ; 分析纯 Cu 粉, 粒径  $71\mu\text{m}$ , 含量  $\geq 99.8\%$ 。

将 CuO 粉、Al 粉和 Cu 粉按要求进行配料, 在混料机中混合均匀, 干态下在万能材料试验机上用  $260\sim 290\text{ MPa}$  的压力压制成  $d 14\text{ mm} \times 25\text{ mm}$  的预制块, 经  $573\text{ K}$ ,  $2\text{ h}$  烘干和除气处理后, 分别在  $1073$ ,  $1183$ ,  $1203$ ,  $1223$  和  $1473\text{ K}$  空气气氛中使其发生化学反应, 反应保温时间为  $30\sim 50\text{ min}$ 。实验装置如图 1。

为了能准确测量试样化学反应温度, 实验中将热电偶端部与试样底面接触并固定, 如图 1 中 5

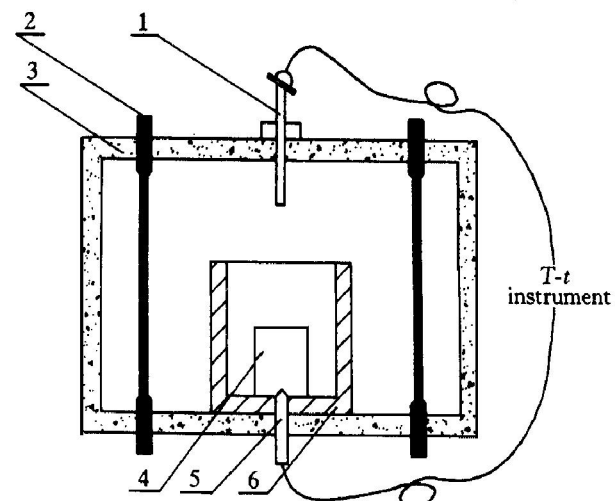


图 1 热分析曲线测试实验装置示意图

**Fig. 1** Sketch of apparatus testing temperature-time curves

- 1—Thermocouple in furnace; 2—Silicon-carbon club;
- 3—Chamber of furnace; 4—Specimen;
- 5—Thermocouple under sample; 6—Explosionproof cavity

<sup>①</sup> [基金项目] 陕西省教委专项科学研究资助项目(99JK225)及陕西省自然科学基础研究计划项目(99C21)

[收稿日期] 1999-10-21; [修订日期] 2000-03-17 [作者简介] 王武孝(1966-), 男, 工程师, 工学硕士。

所示; 为防止热爆时损坏加热体硅碳棒, 将试样放在防爆层内。

用 XWT-464 平衡记录仪与测温热电偶相联结, 记录试样反应时的温度随时间变化的热分析曲线; 反应后的试样用日本理学 D/max-3CX 射线衍射仪分析其反应产物组成。

## 2 实验结果与分析

### 2.1 热分析曲线

图 2 表示在 1073, 1183, 1203 和 1223 K 空气介质中保温条件下, 试样温度随时间变化的热分析曲线。可见, A 和 B 两条热分析曲线较为平直, 无凸峰出现, 试样温度与炉温保持一致。这表明 CuO-Al 体系在 1073~1183 K 的温度范围内没有发生放热反应。在热分析曲线 C 中, 当试样放入炉中约 15 min 后, 温度达 1200 K(接近炉温)时, 试样温度突然升高到 1356 K, 此时曲线出现微小平台, 表明铜被熔化, 随后试样温度继续上升达到最高点 1467 K, 试样温度从 1200 K 上升到 1467 K 所用的时间约 5 min。随着保温时间延长, 试样温度逐渐下降到 1203 K, 与炉温接近并保持一致。凸峰的出现表明 CuO-Al 体系在 1203 K 的炉温下有热量放出, 热量的来源只能是化学反应本身。因此, CuO-Al 体系在 1203 K 炉温下可以发生化学反应。当保温温度为 1223 K 时, 试样的热分析曲线 D 与 C 基本

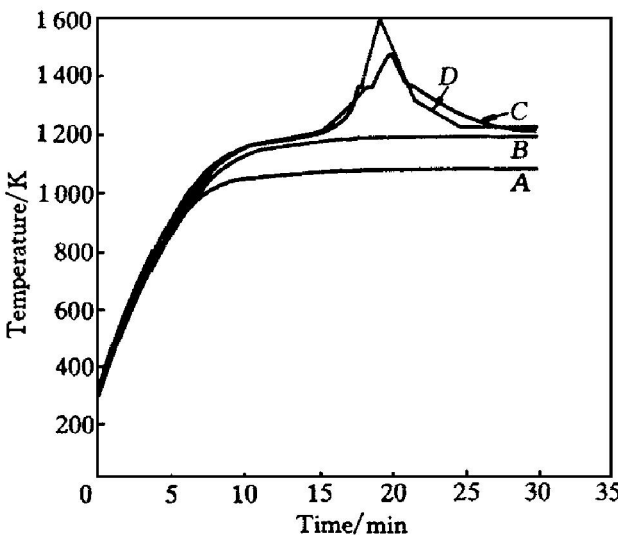


图 2 试样内氧化反应温度随时间变化的热分析曲线

**Fig. 2** Temperature analysis curves obtained in medium atmosphere for specimens internal oxidation at 1073 K (A), 1183 K (B), 1203 K (C) and 1223 K (D) for 30 min

相似, 也有凸峰出现, 只是由于介质温度较 C 曲线

高, 从而试样可达到的最高温度(1600 K)高于 C 曲线的最高温度, 且试样从炉温上升到最高温度所用的时间为 4 min, 小于 C 曲线所用时间。实验过程中可听到轻微的反应响声, 表明随介质温度升高, 反应进行速度加快, 放出的热量比较集中, 反应较为剧烈。试验还发现, 当试样放在炉温为 1473 K 的空气介质中保温时, CuO-Al 体系很快发生化学反应, 在很短时间内放出大量热, 使试样温度急剧上升并熔化, 大部分液体喷向炉顶, 并可听到爆炸声。热爆现象的出现致使热分析曲线测试失败。

### 2.2 X 射线衍射分析

图 3 表示在 1073, 1223 和 1473 K 的保温温度下进行内氧化处理所得试样的 X 射线衍射分析(XRD)结果, 可见, 在 1073 K 保温温度下组成相为 CuO, Al 和 Cu<sub>2</sub>O, 因此 CuO-Al 体系没有发生化学反应。Cu<sub>2</sub>O 的出现是由于在空气介质中保温时, Cu 粉被氧化为 Cu<sub>2</sub>O。在 1223 K 保温温度下, 组成相为 Cu<sub>2</sub>O, CuAlO<sub>2</sub> 和 Al<sub>2</sub>O<sub>3</sub>, 表明 CuO-Al 体系已发生化学反应, 但反应不彻底。在 1473 K 保温温度下反应剧烈, 出现热爆, 反应后试样组成相为 Cu 和 Al<sub>2</sub>O<sub>3</sub>, 反应较为完全。

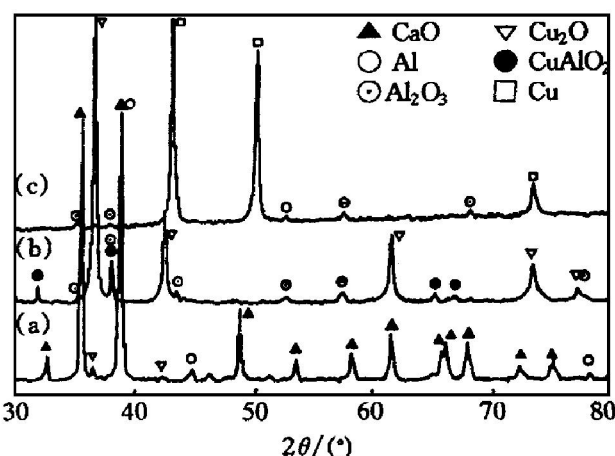


图 3 不同内氧化处理温度下试样的 XRD 分析结果

**Fig. 3** XRD patterns of specimens obtained at different temperatures

(a) -1073 K; (b) -1223 K; (c) -1473 K

综上所述, 可以将 CuO-Al 体系的化学作用分为 3 个不同温度区域: 稳定区、反应不完全区、反应完全区。

稳定区的温度范围大致为 < 1200 K。CuO-Al 体系在 1073~1183 K 空气介质中不发生化学反应, 用 Al 液直接还原 CuO 可能性较小。这是由于:

1) 在 1073~1173 K 时, Al 液在空气中可形成致密的氧化膜<sup>[3, 4]</sup>阻碍了 Al 液与 CuO 的直接接触,

加上 Al 液与 CuO 润湿性较差, 彼此相对隔绝, 无法进行化学反应。

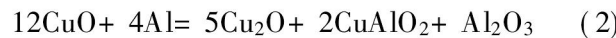
2) 按照热力学原理, CuO 在 1073~1183 K 存在分解反应<sup>[5]</sup>:



$$\Delta G_{(1)}^\ominus / (\text{J} \cdot \text{mol}^{-1}) = 272\,400 - 198.5T$$

化学反应能否进行取决于反应的自由能变化, 化学式(1)在 1073 K 时的标准自由能变化  $\Delta G^\ominus = 59.4 \text{ kJ} \cdot \text{mol}^{-1}$ , 在 1183 K 时  $\Delta G^\ominus = 37.6 \text{ kJ} \cdot \text{mol}^{-1}$ 。按 B. F. Dodge 的方法, 当  $\Delta G^\ominus > 40 \text{ kJ} \cdot \text{mol}^{-1}$ , 反应不能正向自发进行, 当  $\Delta G^\ominus < -40 \text{ kJ} \cdot \text{mol}^{-1}$ , 反应可以正向自发进行, 由此可以确定在 1073~1183 K 温度范围内, CuO 几乎不能自发分解, 处于相对稳定状态。这与图 2 中 A 和 B 两条热分析曲线及图 3 中(a)的物相衍射分析结果一致。

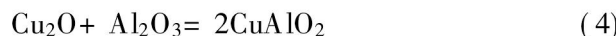
反应不完全区的温度范围大致为: 1200~1473 K。从实验结果可知, 系统温度为 1203 和 1223 K 时, CuO-Al 体系能够发生化学反应, 其化学反应式为<sup>[6, 7]</sup>



式(2)的化学反应可以看成是式(1)与下列反应分步进行的过程:



$$\Delta G_{(3)}^\ominus / (\text{J} \cdot \text{mol}^{-1}) = -1616\,100 + 278.1T$$



$$\Delta G_{(4)}^\ominus / (\text{J} \cdot \text{mol}^{-1}) = -22\,940 + 8.62T$$

在式(2)进行的全过程中, 式(3)能否进行至关重要, 它将影响到式(2)进行的程度。化学反应式(3)能否正向进行取决于: 1) 热力学上化学反应的自由能变化, 计算可得  $\Delta G_{(3)}^\ominus (1203 \text{ K}) = -1281.5 \text{ kJ} \cdot \text{mol}^{-1}$ , 说明反应可以自发进行, 且推动力非常大; 2) Al 液表面氧化膜是否存在, 文献[8~10]指出, 温度超过 1173 K 时, 表面氧化膜在 Al 液中的溶解度增高, 氧化膜破损甚至消失。所以, 在 1203 K 时 Al 液可以与 CuO 充分接触, 使式(3)的反应得以进行。由于式(3)的反应速度非常快, 反过来促使反应式(1)的分解速度加快, 式(1)和(3)进行的结果使反应式(4)很容易进行。

研究结果表明<sup>[6, 11~13]</sup>, Cu-O-Al 体系内存在两种较稳定的三元氧化物, 即 CuAl<sub>2</sub>O<sub>4</sub>(尖晶石)和 CuAlO<sub>2</sub>(六面体)。在温度低于 1173 K 时发生反应, Cu<sub>2</sub>O 和 Al<sub>2</sub>O<sub>3</sub> 生成物为 CuAl<sub>2</sub>O<sub>4</sub>, 在高于 1173 K 而低于 1473 K 时, 生成 CuAlO<sub>2</sub>。图 4 是 Cu-Al-O 三元系相图在 1273 K 时的等温截面, 可见, 在

1273 K 下, Cu<sub>2</sub>O、Al<sub>2</sub>O<sub>3</sub> 和 CuAlO<sub>2</sub> 处于平衡共存状态, 这与图 3 的测试结果一致。

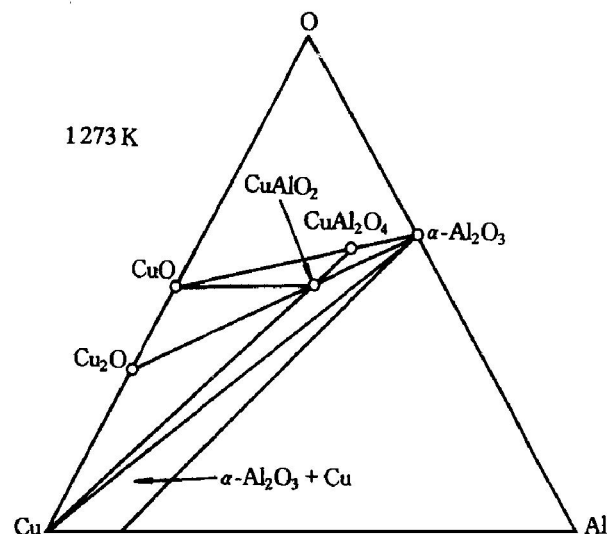
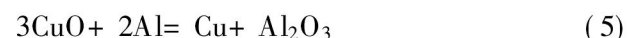


图 4 Cu-Al-O 体系在 1273 K 下的等温相图

Fig. 4 Cu-Al-O phase diagram at 1273 K

反应完全区的温度范围大致为  $\geq 1473 \text{ K}$ 。当系统温度达到 1473 K 时, CuO-Al 体系可以正常进行氧化-还原反应<sup>[14]</sup>, 化学反应式为<sup>[5]</sup>



$$\Delta G_{(5)}^\ominus / (\text{J} \cdot \text{mol}^{-1}) = -1230\,300 + 71.06T$$

反应进行的程度可用反应平衡常数  $K$  的大小来衡量,  $K$  越大, 表示达到平衡时生成物所占比例越大, 反应进行越彻底。反应式(5)的平衡常数可用下式求得:

$$K = \exp(-\frac{\Delta G^\ominus}{RT}) \quad (6)$$

式中  $R$  为摩尔气体常数,  $\text{J} \cdot \text{mol}^{-1} \cdot \text{K}^{-1}$ 。当  $T = 1473 \text{ K}$  时, 求得  $K = 8.27 \times 10^{39}$ , 平衡常数  $K$  值如此之大, 说明式(5)可进行得相当彻底。

### 3 结论

1) 介质温度低于 1200 K 时, CuO-Al 体系不发生化学反应, 属稳定区。

2) 介质温度为 1200~1473 K 时, CuO-Al 体系可发生化学反应, 其反应式为  $12\text{CuO} + 4\text{Al} = 5\text{Cu}_2\text{O} + \text{Al}_2\text{O}_3 + 2\text{CuAlO}_2$ , 反应放出部分热量, 但无热爆现象发生, 属不完全反应区。

3) 介质温度高于 1473 K 时, CuO-Al 体系反应方程式为:  $3\text{CuO} + 2\text{Al} = 3\text{Cu} + \text{Al}_2\text{O}_3$ , 反应集中放出大量热, 出现热爆现象, 属反应完全区。

## [ REFERENCES ]

- [1] Makoto K and Takao C. The fabrication of particulate composite by in-situ oxidation process [J]. Light Met, 1992, 42(3): 138–142.
- [2] MIN Guang-hui(闵光辉), SONG Li(宋立) and YU Huashun(于化顺). 铜基复合材料原位反应制备技术 [J]. Materials Review(材料导报), 1997, 11(4): 68–70.
- [3] Delannay F, et al. The wetting of solids by molten metals and its relation to the preparation of metal matrix composites [J]. J Mater Sci, 1987, 22(1): 1–16.
- [4] HE Zongyan(何宗彦) and FAN Jing-hong(范镜泓). 自生长  $\text{Al}_2\text{O}_3$ -Al 复合材料的制造及形成机理研究 [J]. Journal of Chongqing University(重庆大学学报), 1992, 15(3): 80–84.
- [5] ZHANG Xianpeng(张显鹏). Example & Exercises of Metallurgy Physical Chemistry(冶金物理化学例题及习题) [M]. Beijing: Metallurgical Industry Press, 1990.
- [6] Trumble K P. Thermodynamic analysis of aluminate formation at  $\text{Al}_2\text{O}_3/\text{Fe}$  and  $\text{Al}_2\text{O}_3/\text{Cu}$  interfaces [J]. Acta Metall Mater, 1992, 40: S105–S110.
- [7] CHENG Lan-zheng(程兰征) and ZHANG Yan-hao(章燕豪). Physical Chemistry(物理化学) [M]. Shanghai: Shanghai Science and Technology Press, 1994.
- [8] QIU Ning(仇宁), ZHONG Lijun(钟黎君) and WU Jin-bo(吴锦波).  $\alpha$  氧化铝-铝合金的润湿现象及其机理 [J]. Acta Materiae Compositae Sinica(复合材料学报), 1990, 7(1): 24–29.
- [9] LIU Yao-hui(刘耀辉), HE Zhen-ming(何镇明) and LI Qing-chun(李庆春).  $\text{Al}_2\text{O}_3$  颗粒与 Al 合金固液界面的相互作用 [J]. Materials Science Progress(材料科学进展), 1991, 5(4): 284–288.
- [10] HE Zongyan(何宗彦) and SHI Lin-jing(史莅靖). 利用自渗透原理制备铝基非长纤维增强复合材料的新工艺研究 [J]. Journal of Materials Engineering(材料工程), 1991(5): 24–28.
- [11] Kim S T. Interfacial reaction product and its effect on the strength of copper to alumina eutectic bonding [J]. J Mater Sci, 1992, 27: 2061–2066.
- [12] Beraud C, Courbiere M and Esnouf C, et al. Study of copper alumina bonding [J]. J Mater Sci, 1989, 24: 4545–4554.
- [13] Yoshino Y. Role of oxygen in bonding copper to alumina [J]. J Am Ceram Soc, 1989, 72(8): 1322–1327.
- [14] XI Shengqi(席生岐), QU Xiaoyan(屈晓燕), ZHENG Xiulin(郑修麟), et al. Al/CuO 的高能球磨固态反应 [J]. The Chinese Journal of Nonferrous Metals(中国有色金属学报), 1998, 8(1): 43–46.

## Chemical reaction mechanism of $\text{CuO}\text{-Al}$ in $\text{CuO}\text{-Al-Cu}$ powder preform

WANG Wu-xiao, YUAN Sen

(School of Materials Science and Engineering,  
Xi'an University of Technology, Xi'an 710048, P. R. China)

**[ Abstract ]** Temperature-time analysis curves were tested and X-ray diffraction was applied to examine the specimens processed from  $\text{CuO}\text{-Al}$  powder compacts after reaction. The reaction temperature of thermal explosion and reaction product were obtained. The results show that the chemical reaction of  $\text{CuO}\text{-Al}$  system includes three stages, i.e. stable period, incomplete reaction period and complete reaction period in which thermal explosion often occurs.

**[ Key words ]**  $\text{CuO}\text{-Al}$  powder compact; thermal explosion; temperature-time curves

(编辑 彭超群)